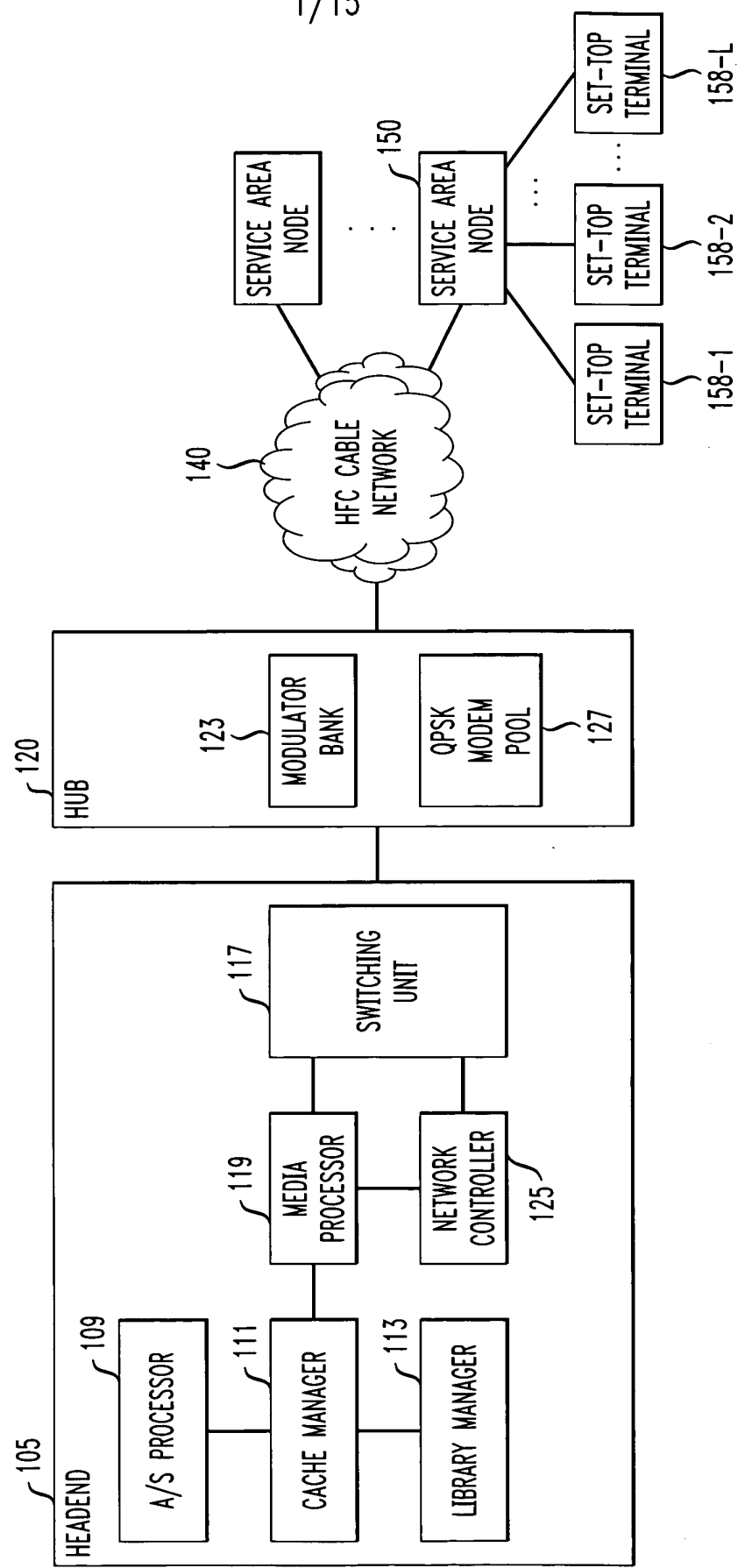




FIG. 1

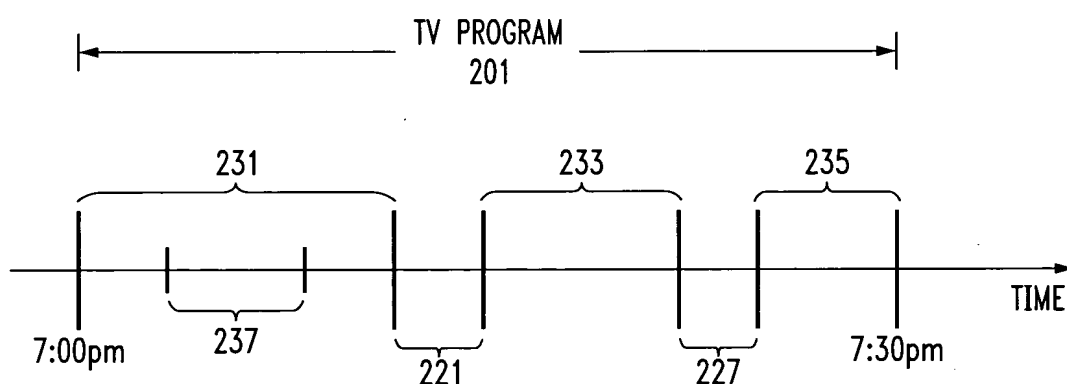




V. B. PATEL et al.  
Serial No.: 10/643,111

2/15

*FIG. 2*



*FIG. 3*  
300

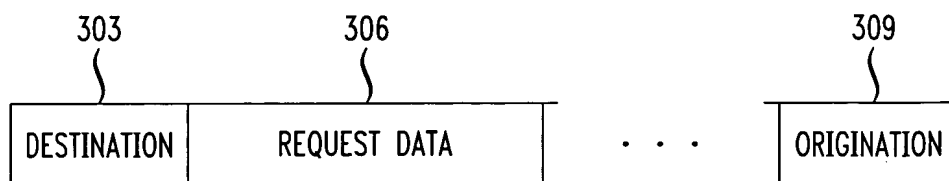




FIG. 4

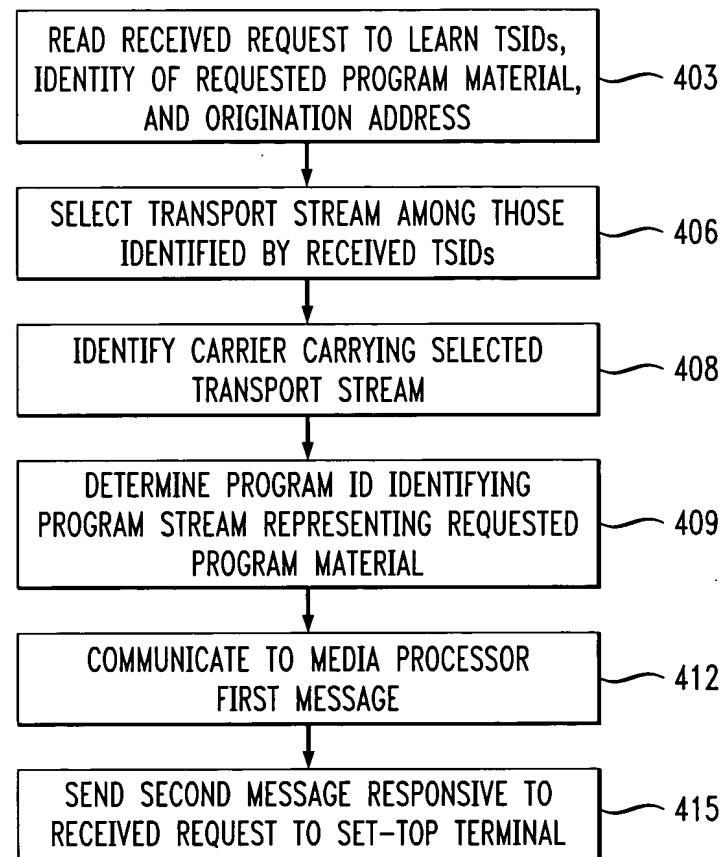
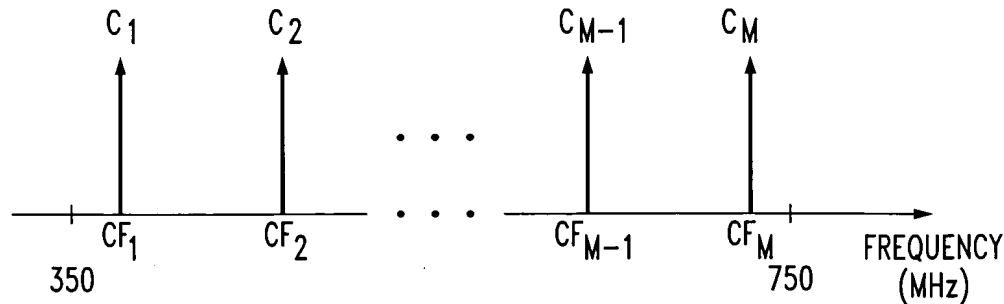
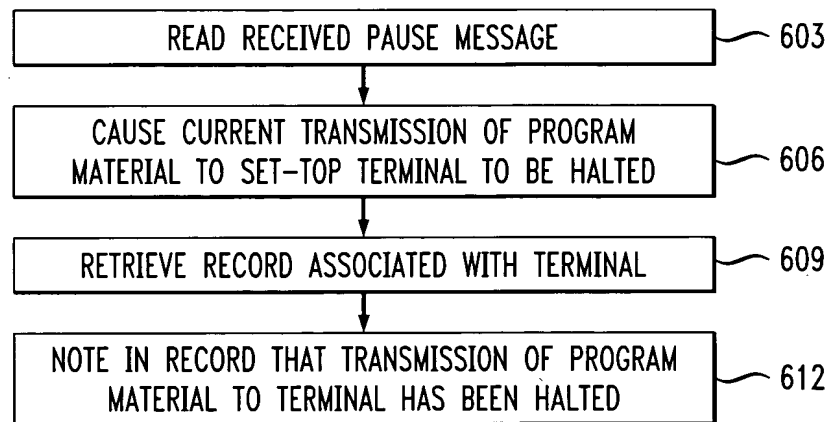


FIG. 5

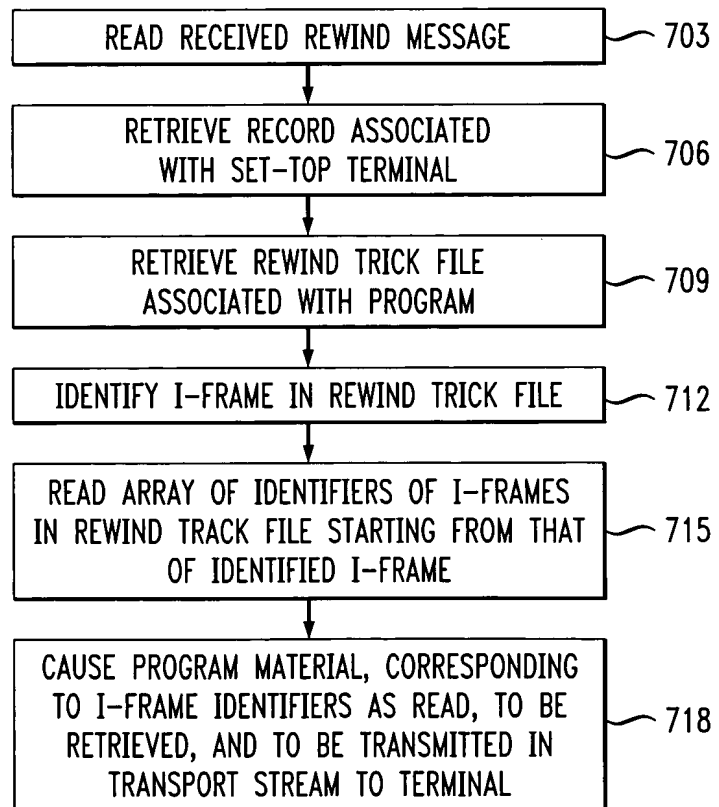


4/15

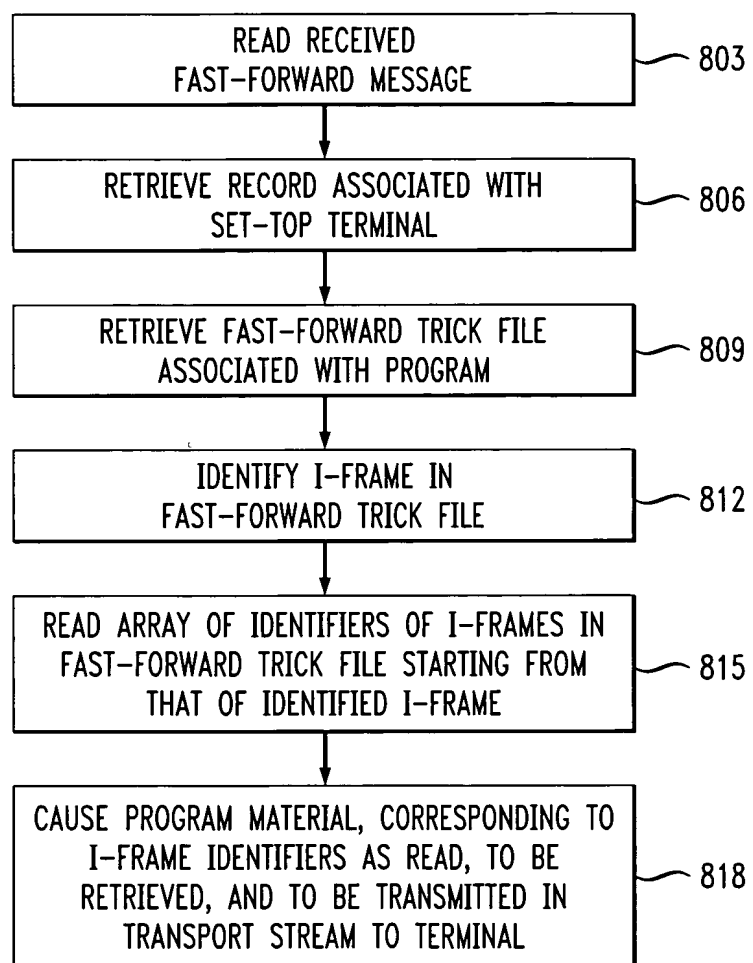
*FIG. 6*



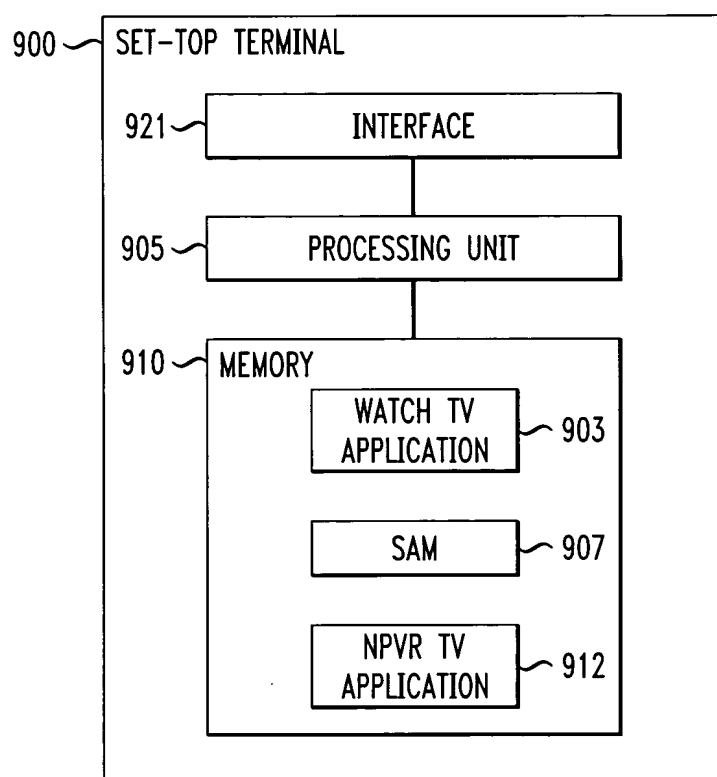
*FIG. 7*



*FIG. 8*

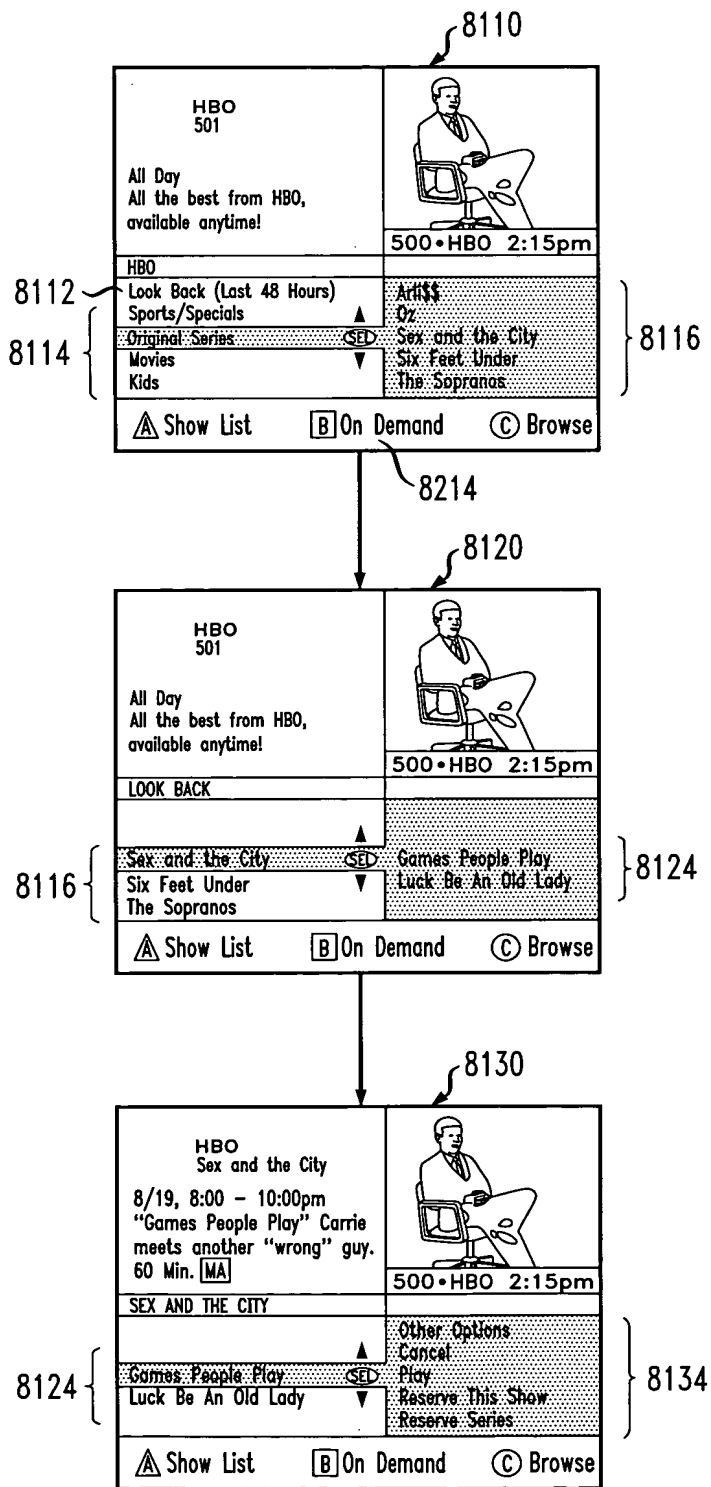


*FIG. 9*



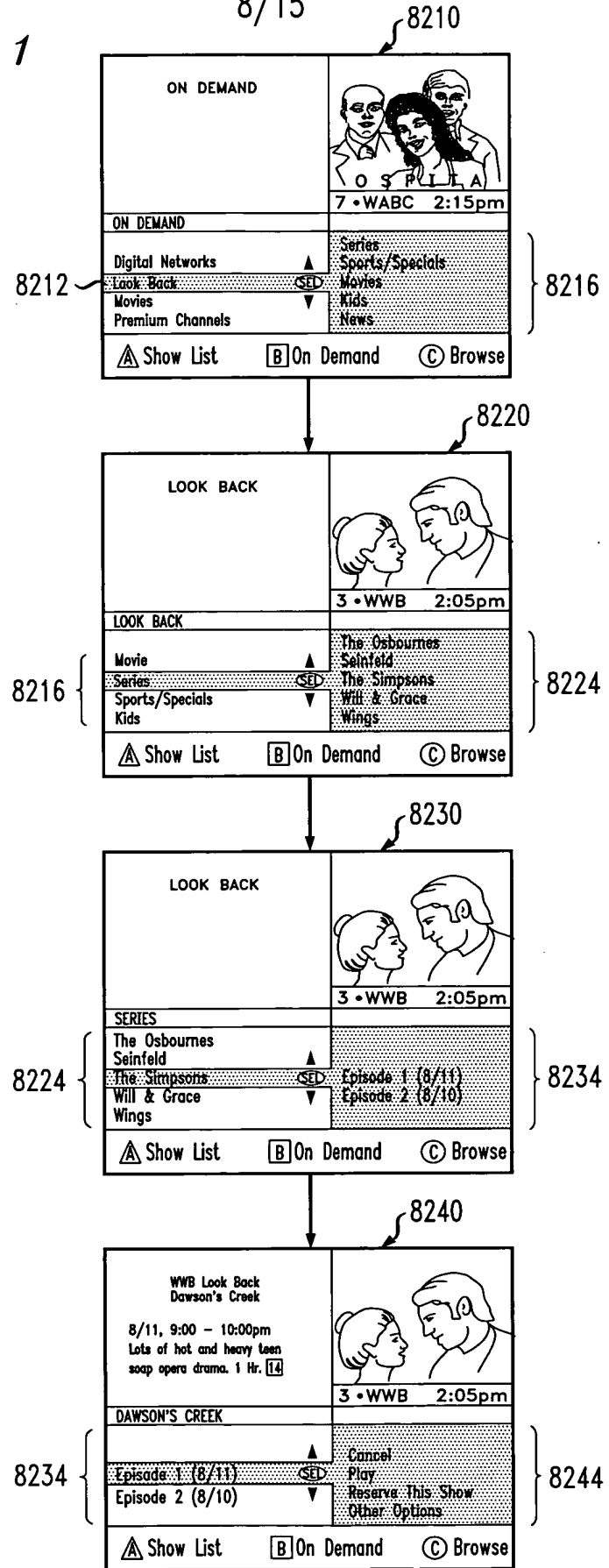
7/15

*FIG. 10*



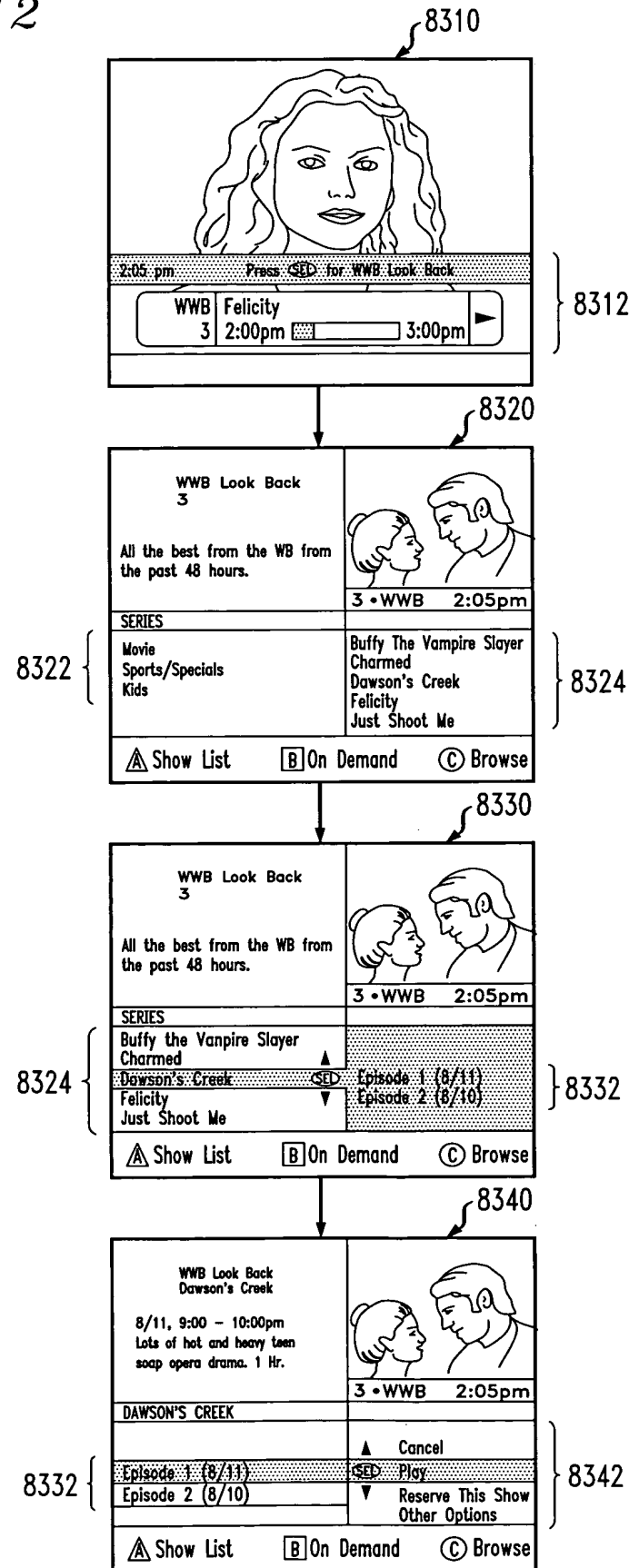
8/15

FIG. 11



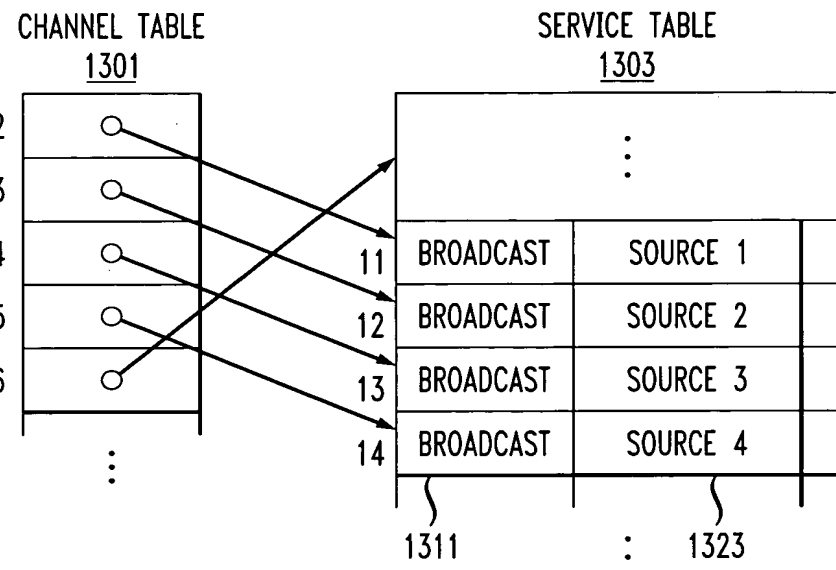
9/15

FIG. 12

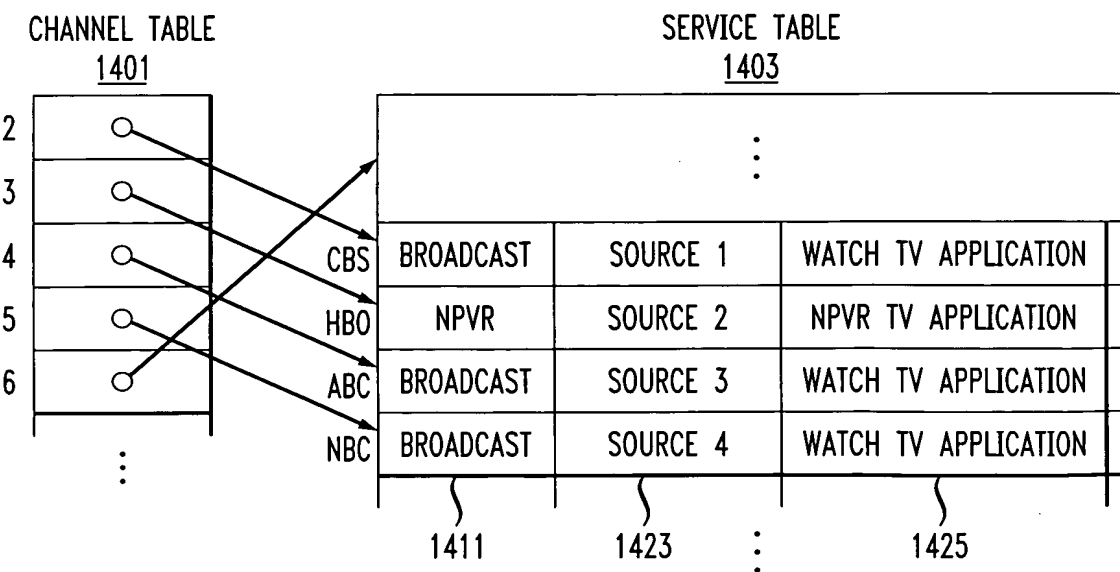


10/15

*FIG. 13*  
PRIOR ART



*FIG. 14*



*FIG. 15*

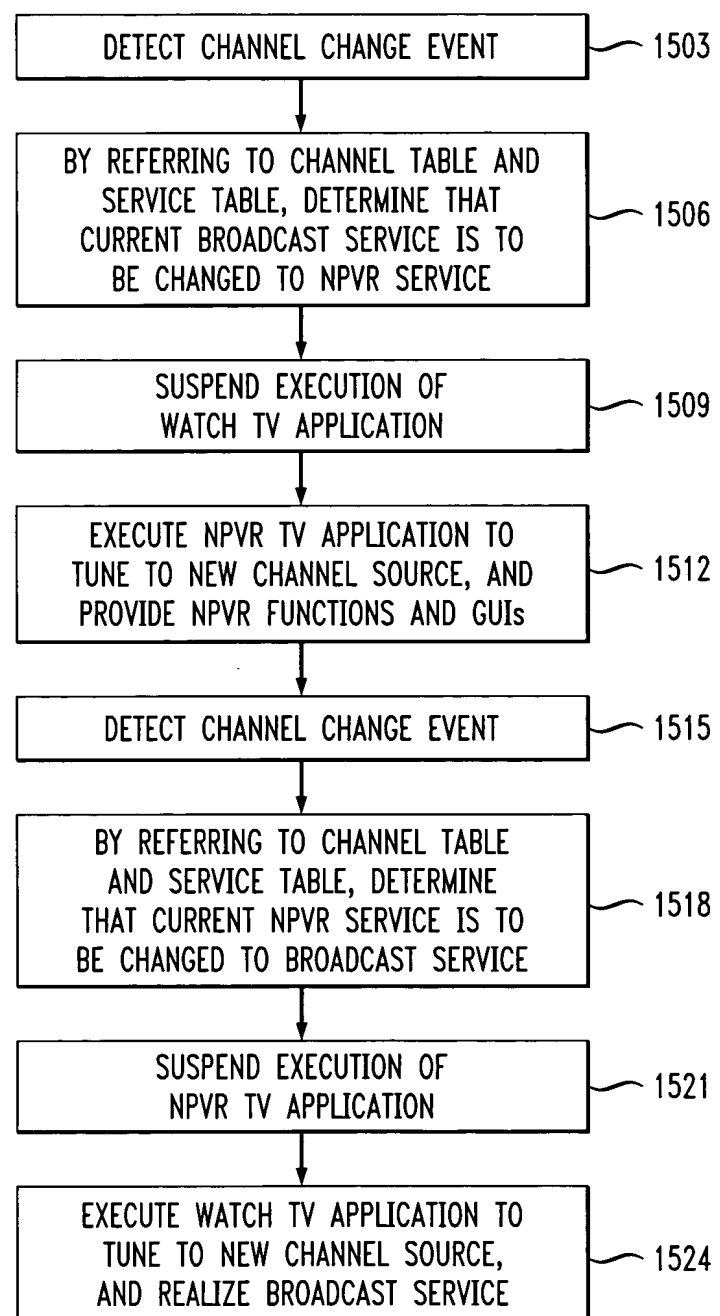


FIG. 16

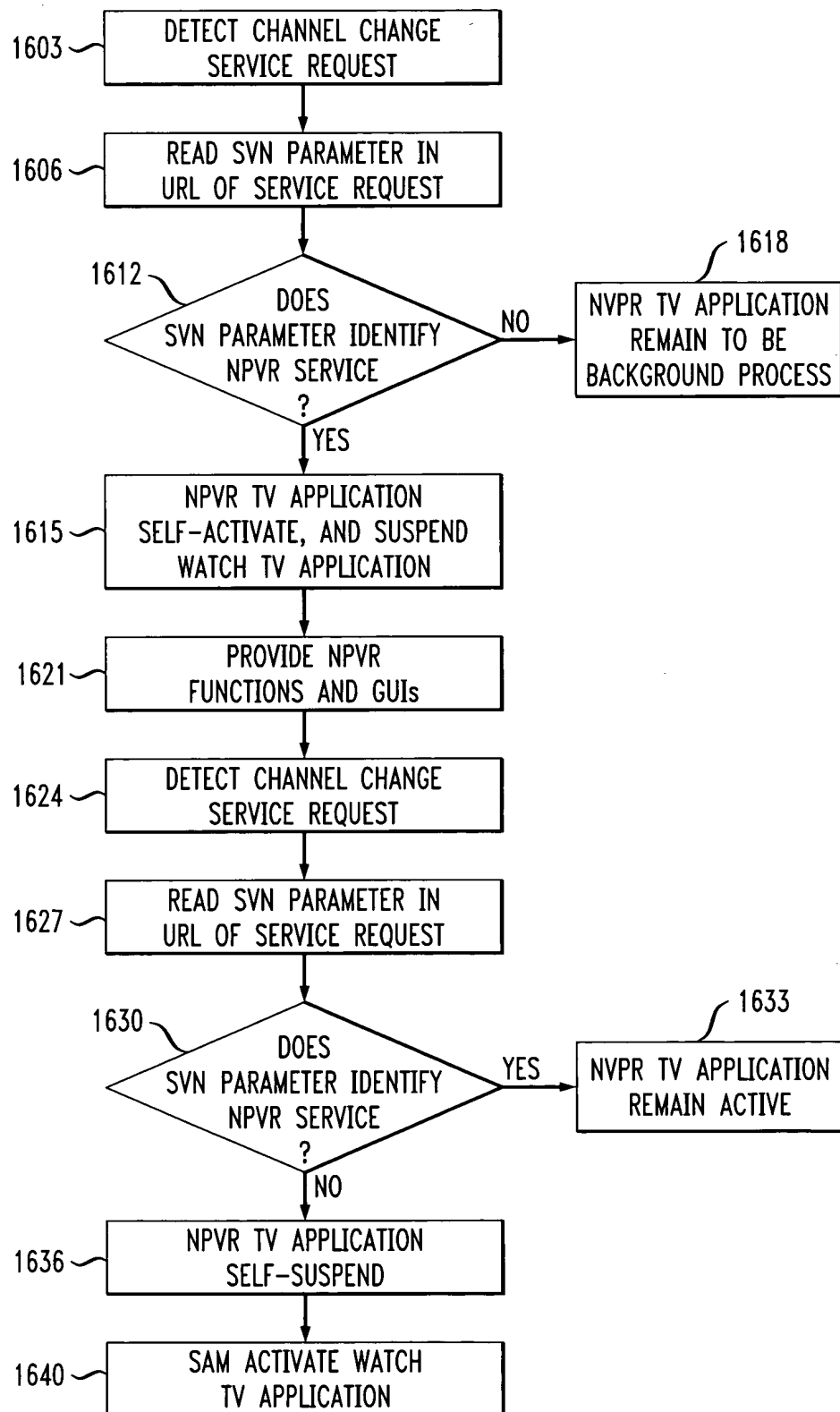


FIG. 17

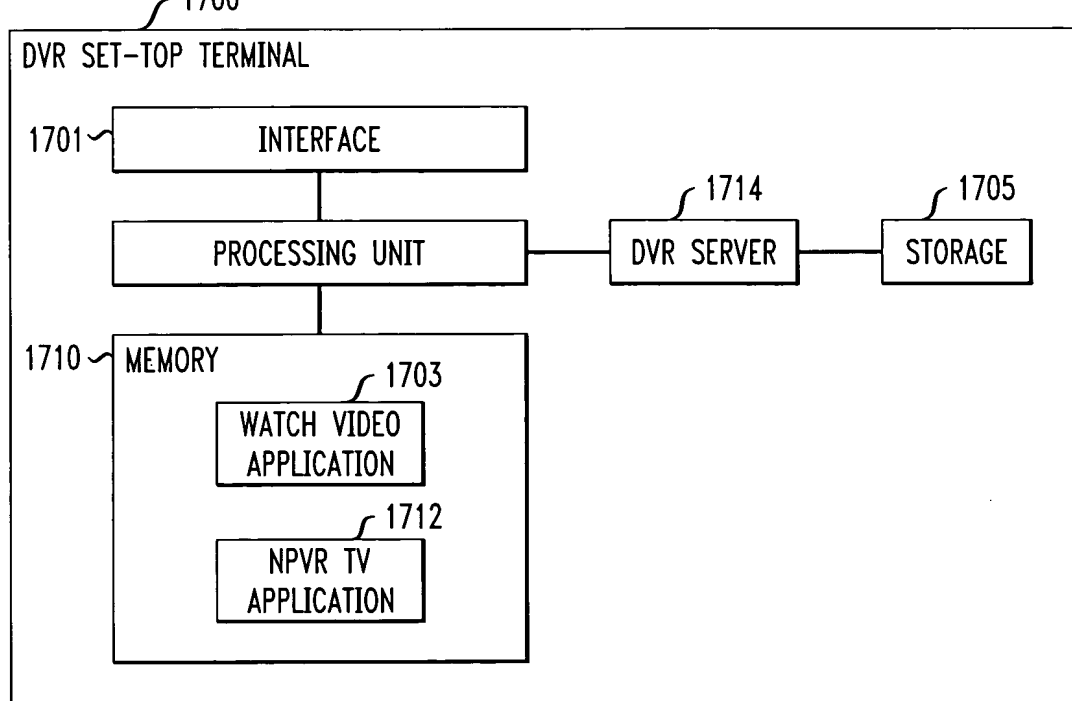


FIG. 19

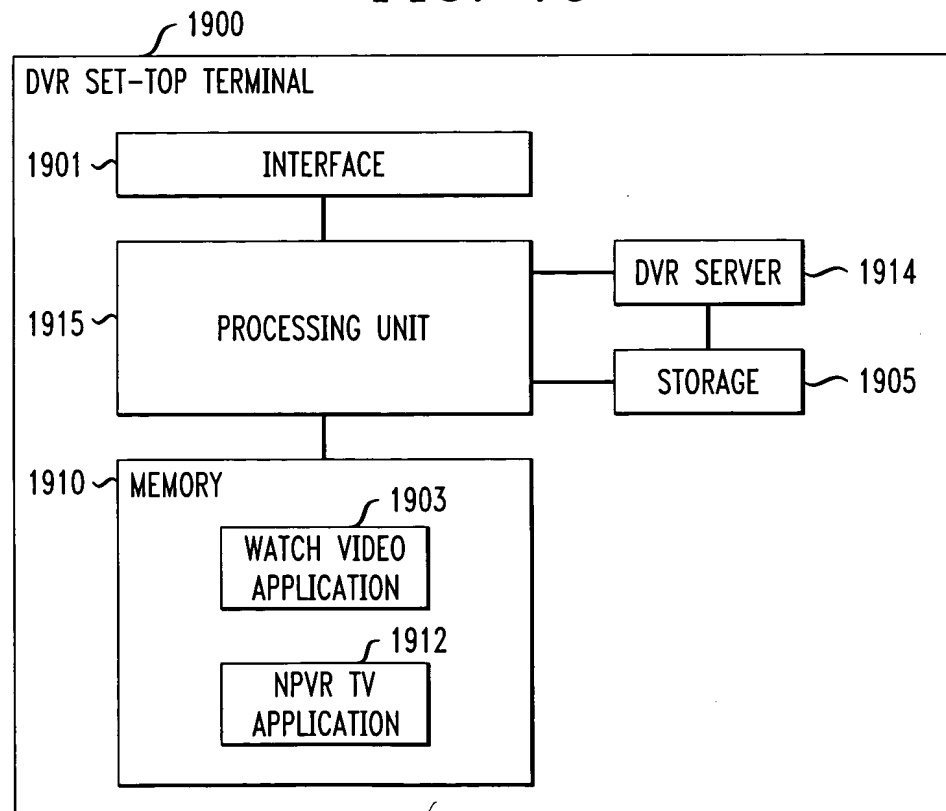


FIG. 18

